

Измерения “Градиентов переменного Эфирного Давления” реального времени.

Авишаров Е.М, Москва. 21.08.2022г.

Необходимость создания цифрового измерительного прибора, желательного работающего в реальном времени, для такой всепроникающей среды - какой является эфирная субстанция, с широчайшим диапазоном энергий и фрактальным характером размеров эфирных вихрей, стало насущной необходимостью, без которой дальнейшее изучение свойств эфира, как первоначальной субстанции физического мира, становилось невозможным.

Базовой частью для прибора, который мог бы осуществить вышесказанное, стали два вида электродинамических устройства, имеющих не объясненные стандартной электромагнитной теорией, эффекты:

- "Вилка Авраменко", представляющая собой два диода соединенных последовательно (анод к катоду), подключение которых производится в месте их соединения к переменному высокому потенциалу, два противоположных конца диодов подключаются на нагрузку (или в приборном случае на измерение).

Теоретически схема замкнутого контура из двух последовательно включенных диодов и нагрузки не должна порождать ток в замкнутой цепи, однако такие работающие устройства, через однопроводную линию очень высокого сопротивления, преобразовывали переменное высокое напряжение с силового трансформатора Теслы, передаваемое по тонкому нихромовому проводу, в десятки киловатт выходной мощности:

до сих пор не имеет разумного обоснования!

- Бифилярная катушка "Купера" (классическая), при подаче на нее переменного напряжения, например с частотой ультразвукового диапазона, обладает сверх проникающим излучением, проходящим через экранированный корпус, и ипринимаемое на вторую бифилярную катушку (тип бифиляра может быть любым):

Явление сверхпроникновения не может быть объяснено в рамках стандартной физической теории!

В работе [Эфирный Электро-Магнетизм. Часть 1. Статика. Электростатика.](http://www.course-as.com/download/zip/AEM_EI-p1.pdf),
(http://www.course-as.com/download/zip/AEM_EI-p1.pdf)

было дано объяснение работы "Вилке Авраменко" как эфиродинамического устройства, на вход которого надо подать через проводник (и не только) переменное изменение эфирного давления с любого электродинамического устройства.

В результате на выходе может быть получен или потенциал - при измерениях тонкой структуры эфира, или выходной ток значительной мощности - при накачке переменным эфирным давлением с большой амплитудой на входе (трансформатор Тесла).

Объяснение работы бифилярной катушки может иметь место только в Эфиродинамике - только при рассмотрении эфирных потоков вокруг проводника с током как эфирных потоков - "магнитных полей", что было рассмотрено автором в одной из работ:

- [Эфирный Электро-Магнетизм. Часть 3. Динамика "Электро-Магнитных" процессов.](http://www.course-as.com/download/zip/AEM_EI-p3.pdf)
(http://www.course-as.com/download/zip/AEM_EI-p3.pdf)

На рис. 1, представленном ниже, показан опытный образец первого ***Измерителя Градиентов переменного Эфирного Давления "ИГЭД-0" (MGED-0)***, собранного по схеме указанной на снимке.

Бифиляр из провода Cu Φ 0.5 mm (в изоляции из капрона Φ 1.0 mm) намотанный на каркасе от 2 mg шприца (материал с минимальным поглощением эфирных вихрей, как и материал изоляции провода). В качестве диодов могут использоваться импульсные диоды с максимальным проходным напряжением при прямом включении. Были использованы диоды марки "BAW76", как наиболее эффективные.

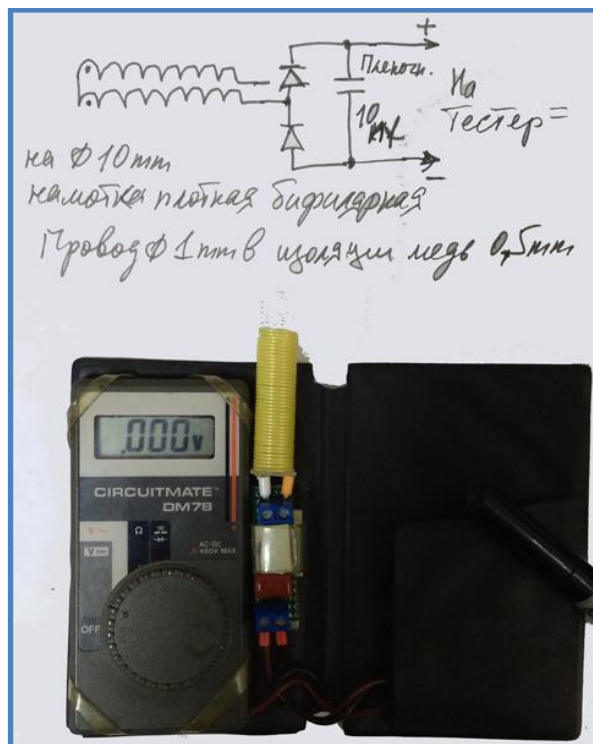


Рис. 1.

В качестве цифрового измерителя выступал карманный мультиметр фирмы "Бекман" с емкостью на входе $C = 25.4 \text{ pF}$ и входном сопротивлении $R_{in} = 0.77 \text{ Мом}$, диапазон измеряемых напряжений: от 0.002V до 300V . Измерения производятся на шкале постоянного напряжения в автоматическом режиме переключения диапазонов.

К сожалению такой измеритель не мог регистрировать колебания эфирной среды окружающего пространства, но позволил выявить закономерности излучений эфирной среды, возникающих при малой интенсивности возбуждений эфира которые привели к пониманию неординарного взаимодействия эфирных потоков с электронными приборами и компонентами.

В силу слишком низкого входного сопротивления измерительных приборов слабые колебания не возбужденной эфирной среды будут сильно подавлены и не смогут быть зафиксированы.



Рис. 2

Следовательно переход на измерительные мультиметры с входным сопротивлением 10 Мом в милливольтном диапазоне измерения должен сильно увеличить чувствительность измерителя, что и было получено на мультиметре "FLUK 87" с чувствительностью 10 мкV (микровольт) при входном сопротивлении 10 Мом.

Это и было реализовано на "Измерителе Градиентов Эфирного Давления - ИГЭД-1 (MGED-1)", который вышел на границу чувствительности регистрации колебаний давления эфирной среды.

Ниже изображен стандартный датчик *Измерителя Градиентов переменного Эфирного Давления "ИГЭД-1" (MGED-1)* (рис.3), (возможны два вида соединений - витая пара и/или коаксиальный кабель (показано выше) - каждый имеет свои преимущества и недостатки, но требует правильное позиционирование в окружающем пространстве предметов для правильного измерения как в статике, так и в связи с движением объектов).



Рис. 3

Для более четкой и достоверной регистрации требовалось увеличить чувствительность измерителя: или датчика, или цифрового измерителя, а еще лучше если обоих вместе.

В качестве цифрового измерителя был использован мультиметр OWON модель "XDM1041" с чувствительностью 1 мкV (микровольт) при входном сопротивлении 10 Мом.

Также необходимо было вывести сигнал с измерителя на осциллограф, что по стандартной схеме было сделать невозможно, т.к. стандартное входное сопротивление осциллографов равно 1 Мом, при этом сигнал будет практически убит.

Это позволило на более чем порядок увеличить чувствительность в связи с использованием ADC (аналогово-цифрового преобразователя) преобразователя, исполненного по новейшим нормам проектирования чипов для электронных компонентов 2021 года изготовления (гигаомное сопротивление входа усилителя во всем диапазоне милливольт)

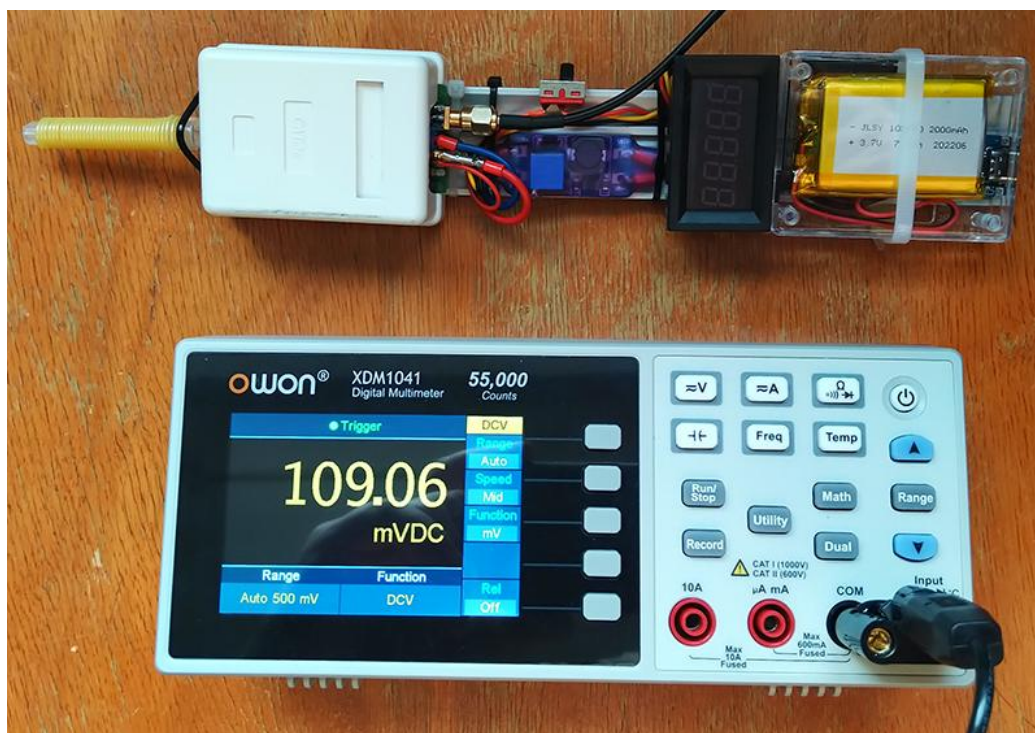


Рис. 4

Кардинально изменен был и датчик - его электронная составляющая как детектора, так и усилителя – преобразователя (рис. 4):

- входное сопротивление датчика было повышено до 50 Мом (10 nF параллельно);
 - использование операционного усилителя с входным сопротивлением в пределах 10^{12} ом;
 - коэффициентом усиления операционного усилителя равен единице!;
 - гальваническая развязка по питанию и для передачи сигнала на сторону измерения;
- при этом чувствительность датчика выросла почти на 2 порядка, хотя входное сопротивление выросло всего в 5 раз! что говорит о том, что законы Ома при работе с эфирными датчиками не выполняются!!

Результат применения изменений виден на снимке ниже (рис. 5.):

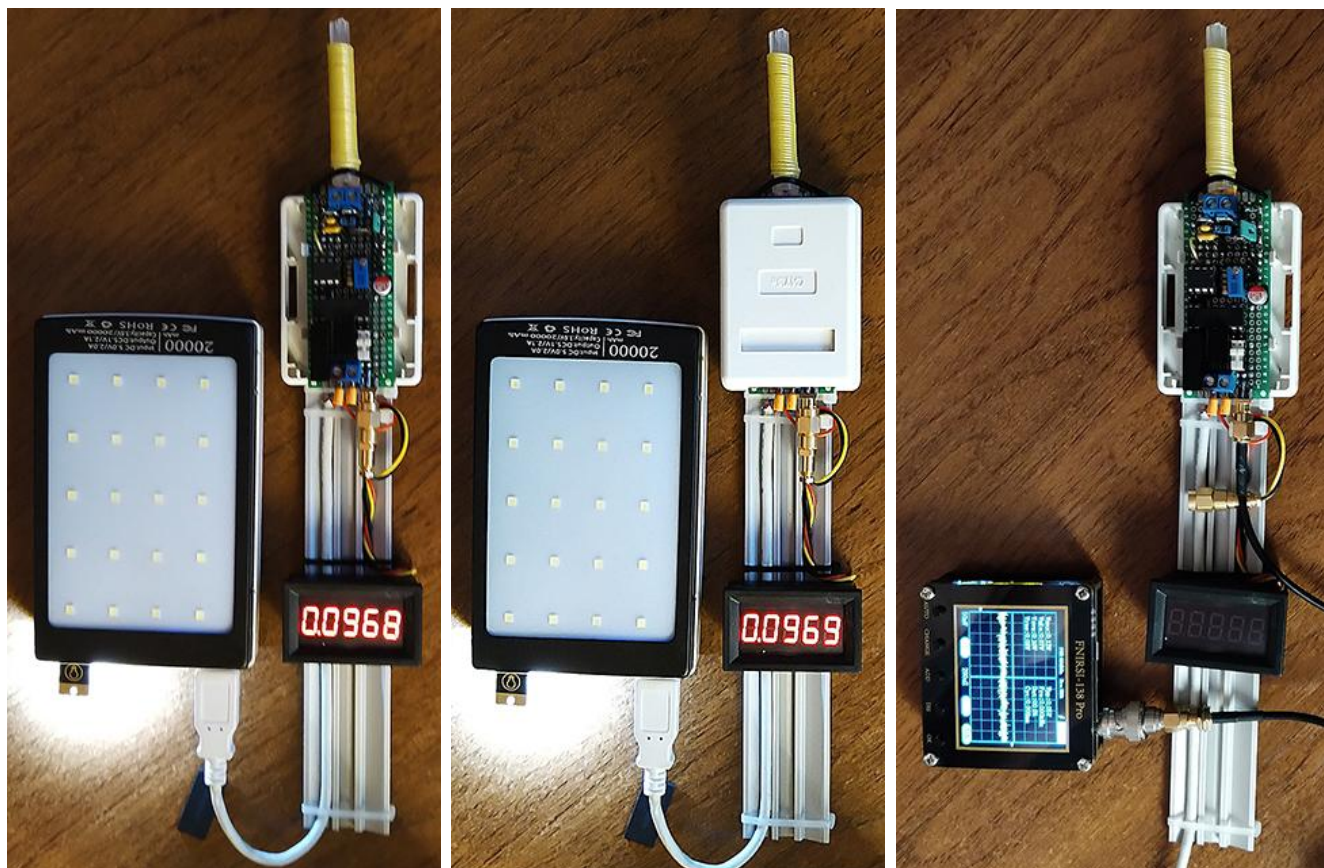


Рис.5.

На первом кадре (рис.5.) ИГЭД-2(гр) (MGEP-2gi) с гальванической развязкой открыт.

На втором кадре ИГЭД-2(гр) (MGEP-2gi) с крышкой, слева повер-банк, индикатор 5 разрядный, показания на приборе около 100 mV.

На 3 кадре - вместо локального измерителя подключен осциллограф (200mkS, 50mV) / клетку,

Произведенные доработки позволили продемонстрировать работу **Измерителя Градиентов Эфирного Давления "ИГЭД-2(гр)" ("MGEP-2gi")** с гальванической развязкой в реальном времени, с выводом показаний на локальный цифровой индикатор высокого разрешения и визуализации на осциллографе в диапазоне частот от mHz до 1 MHz.

- вебинар [DNA Resonance Research Foundation](http://www.course-as.ru/AEM_GE/AEM_Biology_DNA-2.mp4) (М. Ремпель), 15.08.2022г. (Сан Диего - Москва).
(http://www.course-as.ru/AEM_GE/AEM_Biology_DNA-2.mp4)

Представление о работе "Измерителя Градиентов Эфирного Давления ИГЭД-2(гр) (MGEP-2gi)" с гальванической развязкой, на входе 50 Мом с усилением $k=1$, дают фотокадры, показанные ниже: на 4 кадре - осциллограмма уже при (200mS, 50mV) / клетку - время на 3 порядка медленнее (рис.6.).

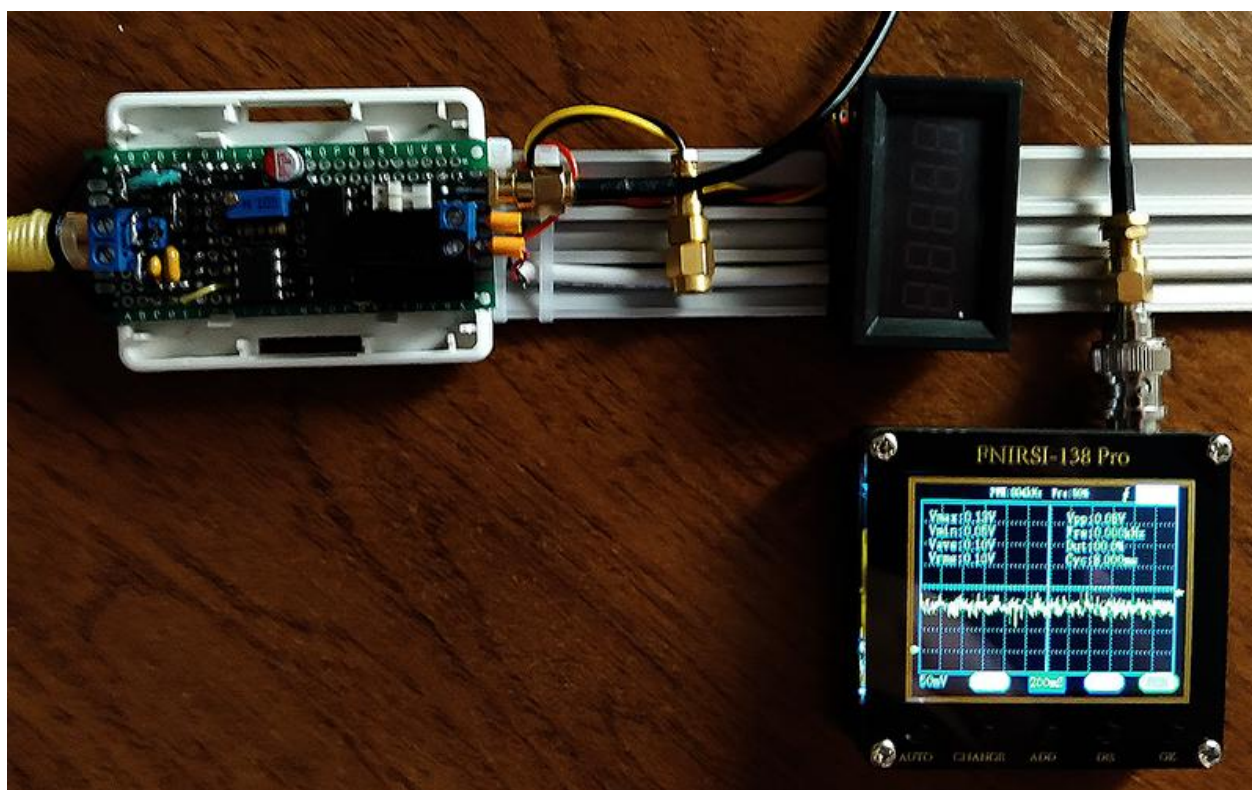


Рис.6.

Если не питать от аккумулятора по отдельности каждый узел, то срабатывает эффект однопроводной линии.

Для мультиметра OWON XDM1041 было разработано питание от встроенного аккумулятора – необходимо было избавления от сетевого питания, которое вносило искажение данных (сильное завышение) из-за эффекта однопроводной линии, которая работала как дополнительный (вредный) эфирный детектор!

Также было внедрено автономное аккумуляторное питание и в самом измерителе ИГЭД-2(гр) (MGER-2gi) для таких же целей, как и для OWON XDM1041.

Пока ИГЭД-2(гр) с гальванической развязкой имеет ограничение по верхнему пределу измерений, который не имеет ИГЭД-2 (диапазон не менее 7 порядков), но работа над созданием измерителя с гальванической развязкой в полном диапазоне измерений продолжается.

Продолжение следует.

P.S. Как и в любой новой системе в измерителях есть свои сложности и некоторые правила, озвучивать которые пока рано, т.к. надо набрать по возможности максимальное кол-во разных измерений, после чего эти знания приобретут целостный характер.

Некоторые рекомендации автор может предоставить желающим на взаимной основе, получив взамен данные проведенных экспериментов с использованием датчиков, основанных на приведенном выше материале.

Автор открыл достаточно для собственного изготовления экспериментаторами устройств, использующих принцип сочетания бифилярной катушки и “вилки Авраменко”, за исключением их коммерческой реализации сторонними лицами и организациями.

Обратная связь: ejen@mail.ru

Новые датчики к измерителям серии ИГЭД-2

(Продолжение - "Измерения Градиентов переменного Эфирного Давления реального времени")

Авиаров Е,М, Москва. 19.05.2023г.

Разработан новый датчик к измерителям Градиентов переменного Эфирного давления реального времени для разных областей применения.

1. Дифференциальный датчик к Измерителям Градиентов переменного Эфирного давления реального времени ИГЭД-2d (МГЕР-2d) для биологических исследований, в котором осуществляется (частичное) вычитание измерений между двумя объектами, находящимися в стеклянных цилиндрических пробирках:

- между исследуемым раствором и контрольным, или
- между исследуемым раствором по сравнению с окружающей средой,

для более выраженного (по значению) измерений воздействий на биологические объекты.

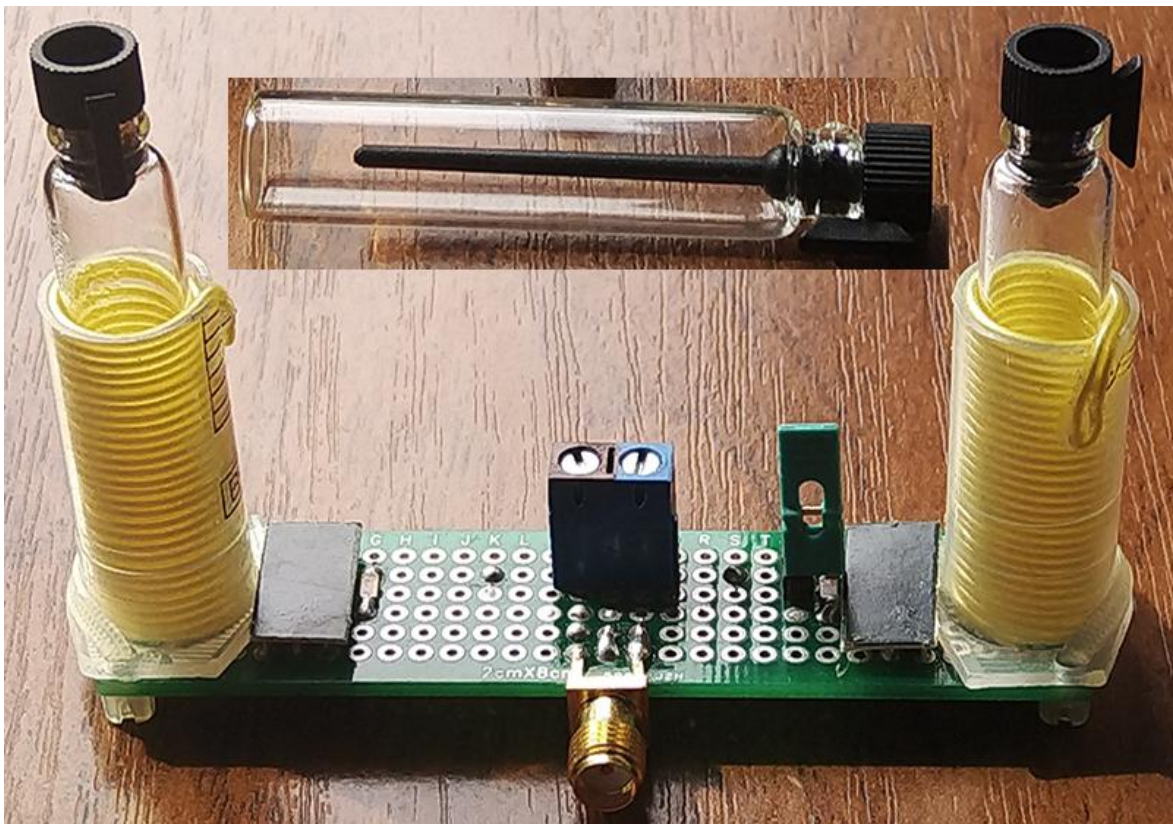


Рис.7.а

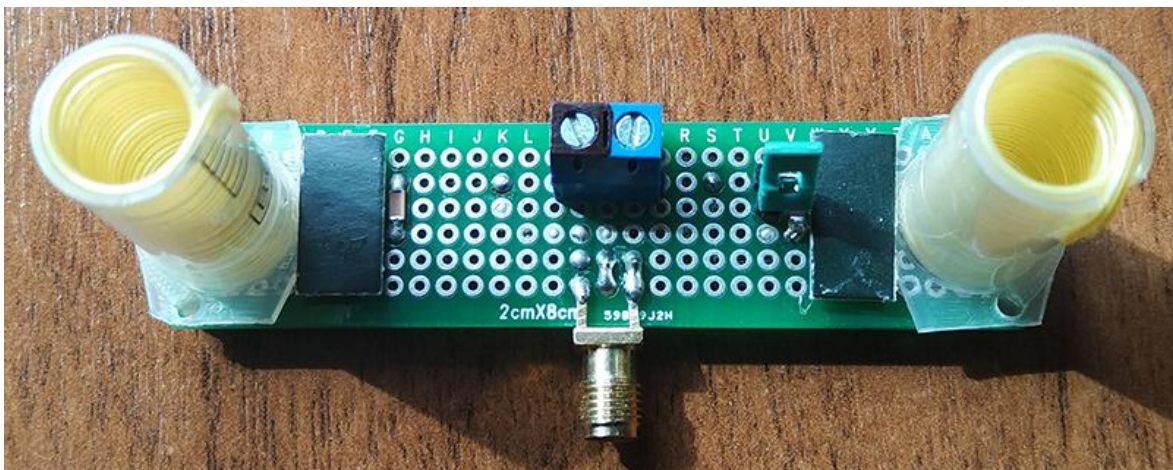


Рис.7.б

Дифференциальный датчик ИГЭД-2d (MGEP-2d) представляет собой два датчика ИГЭД-2 (MGEP-2) – бифилярная катушка (пробирка внутри бифилярной катушки) + вилка Авраменко с удвоенными диодами в каждом плече, включенных последовательно, – в дифференциальном включении, которое позволяет вычесть показания (сколько возможно) окружающей среды из показаний измерений объекта, находящегося во второй пробирке.

2. Датчик к Измерителям Градиентов переменного Эфирного давления реального времени ИГЭД-2(ch) (MGEPD-2ch), построенный на диодах Шотки марки SS310 с минимальным проходным напряжением меньше 0.3V, для минимизации габаритных размеров чувствительной части датчика (рис. 8.а).



Рис.8.а

3. Датчик к Измерителям Градиентов переменного Эфирного давления реального времени ИГЭД-2(ch-R) (MGEP-2ch-R)), построенный на диодах Шотки марки SS310 с минимальным проходным напряжением меньше 0.3V, с возможностью работы и без бифилярной катушки, имеет в каждом плече по 3 последовательно включенных диода Шотки, образующих круг из диодов, что позволит выявить поляризацию за счет разворота датчика вокруг оси, проходящей по оси коаксиального разъема (Рис.8.б) , и значительного увеличения чувствительности.

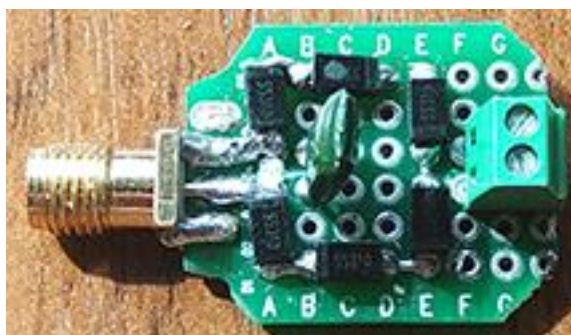


Рис.8.б

Сборная информация о измерителях серии ИГЭД-2 представлен в разделе :
Измерения в *"Градиентной Эфиродинамике"* -
- http://www.course-as.ru/AEM_GE/AEM_GED.html#Measure

Обратная связь: ejen@mail.ru

Применение измерителей ИГЭД-2хх при измерении “неэлектромагнитных” всепроникающих излучений

(Продолжение - “Измерения Градиентов переменного Эфирного Давления реального времени”)

Авиаров Е.М, Москва. 19.11.2023г.

На сайте “Градиентной Эфиродинамики” (http://www.course-as.ru/AEM_GE/AEM_GED.html)
приведены результаты по трем видам исследований, связанных с “неэлектромагнитными”
излучениями, не регистрируемых существующей измерительной аппаратурой, тем более в
цифровом виде:

1. “неэлектромагнитные” излучения при импульсном разряде в газовой среде, находящейся в газоразрядной установке при низком давлении (0.5 -:- 5.0) мм Hg, или 0.5 -:- 5.0 Торр. Просмотр видео и сопроводительных материалов, включая презентацию, представленных на Вебинаре Климова-Зателепина по "ХЯС". 01.11.2023г. Москва, был представлен доклад :

Измерение «Странного излучения» на установке газового разряда измерителями серии «ИГЭД-2хх»

- описание на стр. - http://www.course-as.ru/AEM_GE/AEM_GED.html#MGEP-HVDU
- видео на стр. - http://www.course-as.ru/AEM_GE/AEM_GED.html#MGEP-HVDU-V

2. “неэлектромагнитные” излучения возникающие при работе He-Ne лазера **5mW 633nm** в направлении лазерного луча, и сравнение с излучением полупроводникового лазера, имеющим схожие характеристики. Просмотр видео и сопроводительных материалов, включая презентацию, представленных на 26-ой Конференции ИИИ "К новой (единой) физике". 01.10.2023г. Иерусалим, был представлен доклад :

Измерения «неэлектромагнитных излучений» (“Странных излучений”), сопровождающих любые процессы в материальных объектах и средах, эфиродинамическими цифровыми измерителями серии “ИГЭД-2хх”

- описание на стр. - http://www.course-as.ru/AEM_GE/AEM_GED.html#MGEP-Laser
- видео на стр. - http://www.course-as.ru/AEM_GE/AEM_GED.html#MGEP-Cav+L

3. “неэлектромагнитные” излучения при работе кавитационной тепловой установки. Просмотр видео и сопроводительных материалов, включая презентацию, представленных на Российском междисциплинарном семинаре по темпорологии им. А.П. Левича (ИИПВ), семинар 19.09.2023г. № 809, был представлен доклад :

Измерения колебаний эфирной среды водяной кавитационной тепловой установки "iWET" (Измерения «неэлектромагнитных излучений» (“Странных излучений”), сопровождающих любые процессы в материальных объектах и средах, эфиродинамическими измерителями серии "ИГЭД-2хх")

- описание на стр. - http://www.course-as.ru/AEM_GE/AEM_GED.html#MGEP-CAV
- видео на стр. - http://www.course-as.ru/AEM_GE/AEM_GED.html#MGEP-CavTV

Все выводы читайте в презентациях к докладам.

Обратная связь: ejen@mail.ru